

# Цепные дроби и числа Маркова (азбука Морзе и динамические системы)

А.И. Аптекарев

ИПМ им. М. В. Келдыша РАН

Лекция закрытия

LXXXVII Московской Математической Олимпиады

19.05.2024

## План

- $\mathbb{Q} \subset \mathbb{A} \subset \mathbb{R}$
- Приближение действительных чисел рациональными, непрерывные дроби.
- Медленно приближаемые иррациональности: золотое сечение, цепочки (граф) Маркова.
- Непрерывные дроби для чисел Маркова, итерациидробно-линейных отображений и упорядочение бесконечных Морзе-сигналов.
- Функциональные непрерывные дроби; Паттерны генетического кода и других конечно-буквенных сообщений.

Числа:

$$\mathbb{N} \subset \mathbb{Z} \subset \mathbb{Q} \subset \mathbb{A} \subset \mathbb{R} \subset \mathbb{C}$$

{иррациональные числа} :=  $\mathbb{R} \setminus \mathbb{Q}$

{трансцендентные числа} :=  $\mathbb{R} \setminus \mathbb{A}$

## Приближение иррациональных чисел рациональными:

- ▶ Скорость приближения  $\forall \alpha \in \mathbb{R} \setminus \mathbb{Q}$  :

$$\left| \alpha - \frac{p}{q} \right| < \frac{C}{q^2}, \quad C \leq 1 \quad \Rightarrow \quad \exists \text{ б.м. } p, q \in \mathbb{Z}. \quad (*)$$

- ▶ Алгоритм Евклида и непрерывные (цепные) дроби:

$$a_0 := [\alpha], \quad a_1 := [(\alpha - a_0)^{-1}], \dots$$

$$\alpha \sim a_0 + \cfrac{1}{a_1 + \cfrac{1}{a_2 + \dots}} =: [a_0; a_1, a_2, \dots], \quad [a_0; a_1, \dots, a_n] =: \frac{p_n}{q_n}$$

- ▶ Основные свойства:

- 1) Рекуррентции  $q_{n+1} = a_n q_n + q_{n-1}$ ,  $q_0 = 0$ ,  $q_1 = 1$ .
- 2) Наилучшие приближения  $\alpha$ .

$$\left| \alpha - \frac{p_n}{q_n} \right| < \left| \alpha - \frac{p}{q} \right| \quad \forall q < q_n.$$

(среди дробей с непревышающими  $q_n$  знаменателями)

## Приближение иррациональных чисел рациональными:

- ▶ Скорость приближения  $\forall \alpha \in \mathbb{R} \setminus \mathbb{Q}$  :

$$\left| \alpha - \frac{p}{q} \right| < \frac{C}{q^2}, \quad C \leq 1 \quad \Rightarrow \quad \exists \text{ б.м. } p, q \in \mathbb{Z}. \quad (*)$$

- ▶ Алгоритм Евклида и непрерывные (цепные) дроби:

$$a_0 := [\alpha], \quad a_1 := [(\alpha - a_0)^{-1}], \dots$$

$$\alpha \sim a_0 + \cfrac{1}{a_1 + \cfrac{1}{a_2 + \cdots}} =: [a_0; a_1, a_2, \dots], \quad [a_0; a_1, \dots, a_n] =: \frac{p_n}{q_n}$$

- ▶ Основные свойства:

1) Рекуррентции  $q_{n+1} = a_n q_n + q_{n-1}$ ,  $q_0 = 0$ ,  $q_1 = 1$ .

2) Наилучшие приближения  $\alpha$ .

$$\left| \alpha - \frac{p_n}{q_n} \right| < \left| \alpha - \frac{p}{q} \right| \quad \forall q < q_n.$$

(среди дробей с непревышающими  $q_n$  знаменателями)

## Приближение иррациональных чисел рациональными:

- ▶ Скорость приближения  $\forall \alpha \in \mathbb{R} \setminus \mathbb{Q}$  :

$$\left| \alpha - \frac{p}{q} \right| < \frac{C}{q^2}, \quad C \leq 1 \quad \Rightarrow \quad \exists \text{ б.м. } p, q \in \mathbb{Z}. \quad (*)$$

- ▶ Алгоритм Евклида и непрерывные (цепные) дроби:

$$a_0 := [\alpha], \quad a_1 := [(\alpha - a_0)^{-1}], \dots$$

$$\alpha \sim a_0 + \cfrac{1}{a_1 + \cfrac{1}{a_2 + \cdots}} =: [a_0; a_1, a_2, \dots], \quad [a_0; a_1, \dots, a_n] =: \frac{p_n}{q_n}$$

- ▶ Основные свойства:

1) Рекуррентции  $q_{n+1} = a_n q_n + q_{n-1}$ ,  $q_0 = 0$ ,  $q_1 = 1$ .

2) Наилучшие приближения  $\alpha$ .

$$\left| \alpha - \frac{p_n}{q_n} \right| < \left| \alpha - \frac{p}{q} \right| \quad \forall q < q_n.$$

(среди дробей с непревышающими  $q_n$  знаменателями)

# Спектр Маркова-Лагранжа

- ▶ Точная константа в (\*) и золотое сечение:

$$\left| \alpha - \frac{p}{q} \right| < \frac{C}{q^2}, \quad C = 1/\sqrt{5}, \quad \alpha = (\sqrt{5} - 1)/2$$

- ▶ Определение точки спектра М-Л:

$$\lambda(\alpha) = \sup \tau : \quad \left| \alpha - \frac{p}{q} \right| \leq \frac{1}{\tau q^2} \text{ для б.м. } p, q \in \mathbb{Z}.$$

Другими словами

$$\lambda(\alpha)^{-1} = \liminf_{q \rightarrow +\infty} q^2 \left| \alpha - \frac{p}{q} \right| = \liminf_{n \rightarrow +\infty} q_n^2 \left| \alpha - \frac{p_n}{q_n} \right|.$$

- ▶ Спектр М-Л:  $\Lambda := \{\lambda(\alpha), \alpha \in \mathbb{R} \setminus \mathbb{Q}\}$

# Спектр Маркова-Лагранжа

- ▶ Точная константа в (\*) и золотое сечение:

$$\left| \alpha - \frac{p}{q} \right| < \frac{C}{q^2}, \quad C = 1/\sqrt{5}, \quad \alpha = (\sqrt{5} - 1)/2$$

- ▶ Определение точки спектра М-Л:

$$\lambda(\alpha) = \sup \tau : \quad \left| \alpha - \frac{p}{q} \right| \leq \frac{1}{\tau q^2} \text{ для б.м. } p, q \in \mathbb{Z}.$$

Другими словами

$$\lambda(\alpha)^{-1} = \liminf_{q \rightarrow +\infty} q^2 \left| \alpha - \frac{p}{q} \right| = \liminf_{n \rightarrow +\infty} q_n^2 \left| \alpha - \frac{p_n}{q_n} \right|.$$

- ▶ Спектр М-Л:  $\Lambda := \{\lambda(\alpha), \alpha \in \mathbb{R} \setminus \mathbb{Q}\}$

# Спектр Маркова-Лагранжа

- ▶ Точная константа в (\*) и золотое сечение:

$$\left| \alpha - \frac{p}{q} \right| < \frac{C}{q^2}, \quad C = 1/\sqrt{5}, \quad \alpha = (\sqrt{5} - 1)/2$$

- ▶ Определение точки спектра М-Л:

$$\lambda(\alpha) = \sup \tau : \quad \left| \alpha - \frac{p}{q} \right| \leq \frac{1}{\tau q^2} \text{ для б.м. } p, q \in \mathbb{Z}.$$

Другими словами

$$\lambda(\alpha)^{-1} = \liminf_{q \rightarrow +\infty} q^2 \left| \alpha - \frac{p}{q} \right| = \liminf_{n \rightarrow +\infty} q_n^2 \left| \alpha - \frac{p_n}{q_n} \right|.$$

- ▶ Спектр М-Л:  $\Lambda := \{\lambda(\alpha), \alpha \in \mathbb{R} \setminus \mathbb{Q}\}$

Структура спектра  $\Lambda := \{\lambda(\alpha), \alpha \in \mathbb{R} \setminus \mathbb{Q}\}$

$$\lambda(\alpha) = \limsup_{n \rightarrow +\infty} \frac{1}{q_n|q_n\alpha - p_n|}.$$

Дискретный спектр  $\subset [2.23, 3]$ :

$$\{\sqrt{5}, \sqrt{8}, \sqrt{221}/5, \dots \rightarrow 3\}.$$

«Канторово множество»  $\subset [3, 3.6]$ :

пример лакуны :  $[3.1298, 3.1622]$

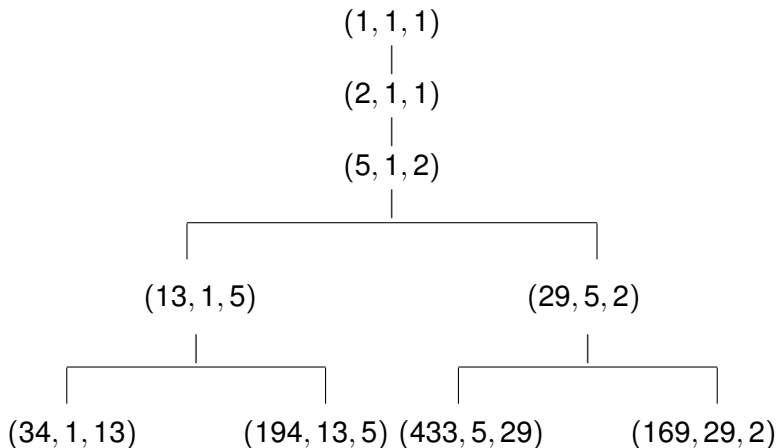
Непрерывный спектр:  $= [3.6, \infty]$ .

## Теорема и дерево Маркова

Теорема:  $\lambda(\alpha) = (9 - 4m^{-2})^{1/2}$ , где  $m$ :

$$m^2 + m_1^2 + m_2^2 = 3mm_1m_2, \quad m \geq \max(m_1, m_2), \quad m = 1, 2, \dots$$

Граф Маркова (Дерево?)



# Паттерны цепной дроби и точки спектра



$$\lambda(\alpha) = \limsup_{n \rightarrow +\infty} \frac{1}{q_n|q_n\alpha - p_n|}.$$

Другая формула для точки спектра  $\alpha = [0; a_1, a_2, \dots]$

$$\lambda(\alpha) = \limsup_{n \in \mathbb{Z}} \left\{ [a_n; a_{n-1}, a_{n-2}, \dots, a_1] + [0; a_{n+1}, \dots] \right\}.$$



ДЛО:

$$S_i(x) = \frac{1}{a_i + x}, \quad S_i^{-1}(w) = -a_i + \frac{1}{w}.$$

итерации

$$D_n = S_1 \circ S_2 \circ \cdots \circ S_n, \quad D_n^{-1} = S_n^{-1} \circ S_{n-1}^{-1} \circ \cdots \circ S_1^{-1}.$$

еще одна версия формулы:

$$\lambda(\alpha) = \limsup_{n \rightarrow \infty} D_n^{-1}(\alpha) - D_n^{-1}(\infty) = \limsup_{n \rightarrow \infty} D_n^{-1}(\alpha) - D_n^{-1}(z), z \neq \alpha$$

## Паттерны цепной дроби и точки спектра



$$\lambda(\alpha) = \limsup_{n \rightarrow +\infty} \frac{1}{q_n|q_n\alpha - p_n|}.$$

Другая формула для точки спектра  $\alpha = [0; a_1, a_2, \dots]$

$$\lambda(\alpha) = \limsup_{n \in \mathbb{Z}} \left\{ [a_n; a_{n-1}, a_{n-2}, \dots, a_1] + [0; a_{n+1}, \dots] \right\}.$$



ДЛО:

$$S_i(x) = \frac{1}{a_i + x}, \quad S_i^{-1}(w) = -a_i + \frac{1}{w}.$$

итерации

$$D_n = S_1 \circ S_2 \circ \cdots \circ S_n, \quad D_n^{-1} = S_n^{-1} \circ S_{n-1}^{-1} \circ \cdots \circ S_1^{-1}.$$

еще одна версия формулы:

$$\lambda(\alpha) = \limsup_{n \rightarrow \infty} D_n^{-1}(\alpha) - D_n^{-1}(\infty) = \limsup_{n \rightarrow \infty} D_n^{-1}(\alpha) - D_n^{-1}(z), z \neq \alpha$$

# Паттерны и динамические системы

- $\lambda(\alpha) = \limsup_{n \in \mathbb{Z}} \left\{ [a_n; a_{n-1}, a_{n-2}, \dots, a_1] + [0; a_{n+1}, \dots] \right\}$   
 $= \limsup_{n \rightarrow \infty} D_n^{-1}(\alpha) - D_n^{-1}(z), \quad z \neq \alpha$
- ИФ Сиситема:  $S_i(x) \in \{S^{(1)}(x) = \frac{1}{1+x}, S^{(2)}(x) = \frac{1}{2+x}\}$ .  
 $D_n = S_1 \circ S_2 \circ \dots \circ S_n.$   
• **A** - min замкн. мн-во :  $S_i(\mathbf{A}) \subseteq \mathbf{A}; \quad \mathbf{J}$  - (...) :  $S_i^{-1}(\mathbf{J}) \subseteq \mathbf{J}$ .
- **A** и **J** инвариантные множества:  $\mathbf{J} = -\frac{1}{\mathbf{A}}$ .
- Свойства **A**: 1)  $\mathbf{A} = \{\alpha : a_i \in \{1, 2\}\}$ .
- 2)  $A^0 := ([0, \overline{2, 1}], [0, \overline{1, 2}])$ ;  $A_{a_j} := S_j(A^0)$ ;  $A_{a_k, a_j} := S_k(A_{a_j}) \dots$
- 3)  $\alpha = [0; a_1, a_2, \dots] \in A_{a_1, a_2, \dots, a_n} \subset A_0$ .

# Строение $\mathbf{A}$ .

$J^0$

— 8 —

$A^0$

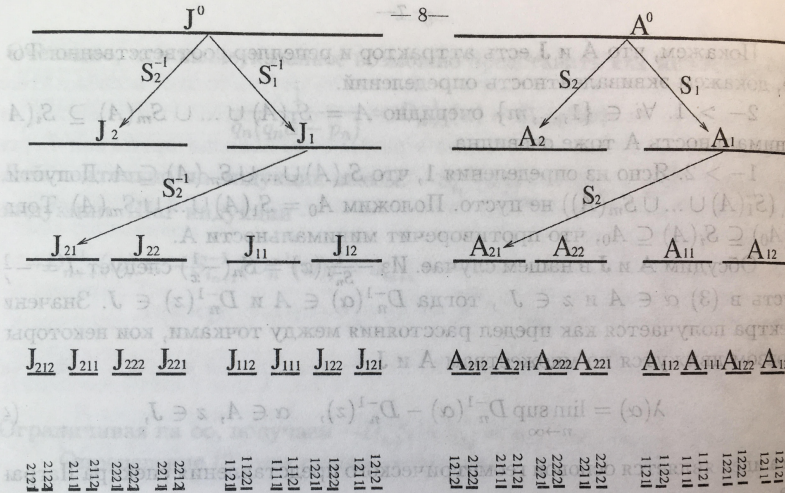


Рис. 1: На картинке представлены множества  $\mathbf{A}$  и  $\mathbf{J}$  для  $\alpha$ , имеющих в своей цепной дроби только 1 и 2.

Динамика:  $\lambda(\alpha) = \limsup_{n \rightarrow \infty} D_n^{-1}(\alpha) - D_n^{-1}(z), z \neq \alpha$   
 $z$  кладем в  $J^0$ ,  $\alpha \in \mathbf{A}$  и поехали!

$\frac{2}{\sqrt{3}-1}$	$J^0$	$\frac{1}{\sqrt{3}-1}$	$[0;12] = (\sqrt{3}-1)/2$	$A^0$	$[0;12] = \sqrt{3}-1$
-2.7320581	$J_2$	$J_1$	-1.3660254	$A_2$	$A_1$
$J_{21}$	$J_{22}$	$J_{11}$	$J_{12}$	$A_{21}$	$A_{22}$
$J_{212}$	$J_{211}$	$J_{222}$	$J_{221}$	$A_{212}$	$A_{211}$
-2.422650	$J_{112}$	$J_{111}$	$J_{122}$	$A_{222}$	$A_{221}$
-2.577350	$J_{121}$	$J_{122}$	$J_{112}$	$A_{212}$	$A_{211}$
$A_{112}$	$A_{111}$	$A_{122}$	$A_{121}$	$A_{112}$	$A_{111}$
0.57735027	0.42264973	0.387995	0.412771	0.702914	0.633975
0.7320581	0.3660254	-1.3660254	-1.7320581	-2.7320581	-2.422650

- Функциональные непрерывные дроби;  
Паттерны генетического кода

Функциональные непрерывные дроби  $f(z) = \sum_{k=1}^{\infty} \frac{c_k}{z^k}$ ;

- Алгоритм Евклида. Пусть  $[.]$  - полиномиальная часть  $f$ :

$$\tilde{f}(z) = \sum_{k=-p}^{\infty} \frac{c_k}{z^k} =: [\tilde{f}(z)] + \sum_{k=1}^{\infty} \frac{c_k}{z^k}$$

$$f(z) = \frac{1}{f^{-1}} = \frac{1}{[f^{-1}] + f_1} = \frac{1}{[f^{-1}] + \frac{1}{[f_1^{-1}] + f_2}} =: [p^{(0)}, p^{(1)}, p^{(2)}, \dots];$$

$$\pi_n(z) := [p^{(0)}, p^{(1)}, p^{(2)}, \dots, p^{(n-1)}] \quad p^{(j)}(z) \in \mathcal{P}.$$

- Нормальный случай  $p^{(j)} \in \mathcal{P}_1$

$$\frac{P_{n-1}(z)}{Q_n(z)} := [p_1^{(0)}, p_1^{(1)}, p_1^{(2)}, \dots, p_1^{(n-1)}] = \frac{1}{z - a_0 - \frac{b_0^2}{z - a_1 - \frac{b_1^2}{z - a_2 - \dots - \frac{b_{n-2}^2}{z - a_{n-1}}}}}$$

- Рекуррентные соотношения:

$$Q_{n+1}(z) = (z - a_n)Q_n(z) - b_{n-1}^2 Q_{n-1}(z), \quad Q_0 = 1, \quad Q_1 = z - a_0.$$

# Дискретный оператор Шредингера $J$

Перенормируем многочлены  $Q_n = z^n + \dots$

$$q_n := (b_0 b_1 \cdots b_{n-1}) Q_n, \quad q_0 = Q_0 = 1$$

Мн-ны  $q_n$  удовлетворяют рекуррентным соотношениям:

$$b_{n-1} q_{n-1} + a_n q_n + b_n q_{n+1} = z q_n$$

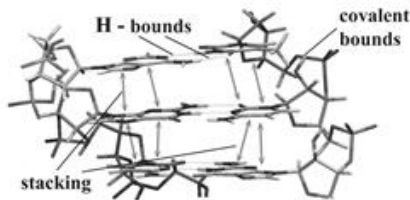
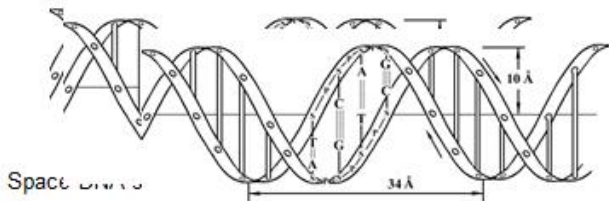
В матричном виде (матрица Якоби)  $J\vec{q} = \vec{q}$ :

$$\begin{pmatrix} a_0 & b_0 & 0 & 0 & 0 & \cdots \\ b_0 & a_1 & b_1 & 0 & 0 & \cdots \\ 0 & b_1 & a_2 & b_2 & 0 & \cdots \\ \cdots & \cdots & \cdots & \cdots & \cdots & \cdots \\ \cdots & \cdots & \cdots & \cdots & \cdots & \cdots \end{pmatrix} \begin{pmatrix} q_0 \\ q_1 \\ q_2 \\ \vdots \\ \vdots \end{pmatrix} = z \begin{pmatrix} q_0 \\ q_1 \\ q_2 \\ \vdots \\ \vdots \end{pmatrix}$$

В случае, когда  $b_n > 0$ ,  $a_n \in \mathbb{R}$  матрица Якоби определяет самосопряженный дискретный оператор Шредингера  $J$ .  
При этом справедливо:

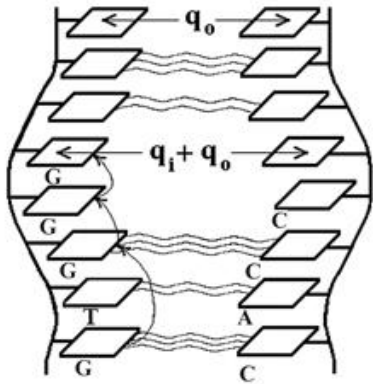
$$\pi_n(z) \underset{\overline{\mathbb{C}} \setminus \text{Sp}(J)}{\Rightarrow} f(z) = \int \frac{d\mu(\lambda)}{z - \lambda}$$

# Basic linear biopolymer - DNA



Relative space positions of H –  
bounds and stacking interactions  
in DNA

# Mechanical DNA models



Covalent bound ~ 3,6 eV  
Stacking interaction ~ 0,14÷0,63 eV  
H-bound ~ 0,13÷0,26 eV

# Electron in a rigid chain

$$\hat{H} = \sum_{n,m} v_{n,m} |n\rangle\langle m|$$

Homogeneous chain in the nearest neighbor approximation

$$(v_{n,n\pm 1} = v, v_{n,m} = 0 \quad m \neq n \pm 1); \quad |\Psi\rangle = \sum_n b_n |n\rangle$$

Schroedinger equation:

$$i\dot{b}_n = v(b_{n+1} + b_{n-1}) \quad b_n(t) = e^{-iW_n t} R_{n,k}, \quad R_{n,k} = \frac{e^{ikn}}{\sqrt{N+1}}$$

For Poly G/Poly C chain:

$$W_k = 2v \cos k, \quad k = \pm \frac{2\pi l}{N}, \quad l = 0, 1, 2, \dots, \frac{N}{2}$$



$$\Delta W = 4v - \text{conductivity band width.}$$

## Regular chains

Band structure for Poly(GT)/Poly(CA)

$$n = 2j: \quad v_{2j,2j} = 0, \quad v_{2j,2j+1} = v_1, \quad j = 0, \pm 1, \pm 2, \dots$$

$$n = 2j+1: \quad v_{2j+1,2j+1} = \alpha_T, \quad v_{2j,2j-1} = v_2$$

Eigen value equations:

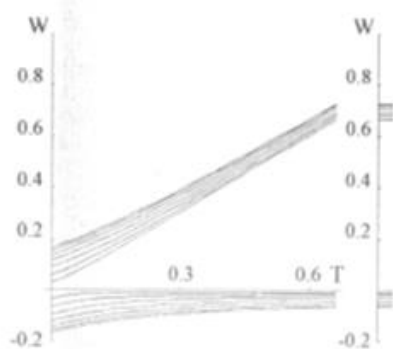
$$W_k R_{2j,k} = v_1 R_{2j+1,k} + v_2 R_{2j-1,k}$$

$$W_k R_{2j+1,k} = \alpha_T R_{2j+1,k} + v_2 R_{2j+2,k} + v_1 R_{2j,k}$$

$$R_{2j+1,k} = u_2 \exp[ik(2j+1)], \quad R_{2j,k} = u_1 \exp[ik(2j)],$$

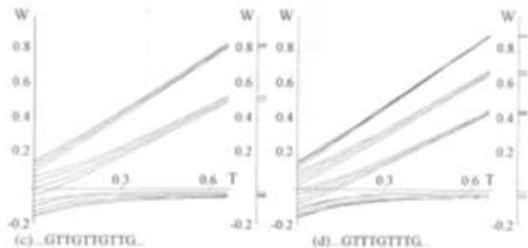
$$W_k^{\pm} = \frac{\alpha_T}{2} \pm \sqrt{\left(\alpha_T / 2\right)^2 + \left(v_1^2 + v_2^2 + 2v_1v_2 \cos 2k\right)^2}$$

## Poly(GT)/Poly(CA)



(b) ...GTGTGTG...

## Band structures of various regular chains



For regular chains, that contain **m** sites in an elementary cell, there are **m** different branches determining their band structure.

V.D.Lakhno in "Modern Methods for Theoretical Physical Chemistry of Biopolymers", Ed. By E.B.Staricov , J.P.Lewis, S.Tanaka, (2006), Elsevier

V.D.Lakhno, V.B.Sultanov, Theor.Math.Phys., v.176, 1194, (2013)